

ОБЪЕДИНЕННЫЙ  
ИНСТИТУТ  
ЯДЕРНЫХ  
ИССЛЕДОВАНИЙ  
ДУБНА



10239

ЭКЗ. ЧИТ. ЗАДА

P6 - 10239

В.М.Горожанкин, К.Я.Громов, Т.Крецу,  
В.В.Кузнецов, Г.Лизурей, Г.Макарие

К ВОПРОСУ ОБ УЧЕТЕ ФОРМЫ ЛИНИИ  
ПРИ ИССЛЕДОВАНИИ БЕТА-СПЕКТРОВ  
НА МАГНИТНОМ БЕТА-СПЕКРОМЕТРЕ

1976

P6 - 10239

В.М.Горожанкин, К.Я.Громов, Т.Крецу,  
В.В.Кузнецов, Г.Лизурей, Г.Макарие

К ВОПРОСУ ОБ УЧЕТЕ ФОРМЫ ЛИНИИ  
ПРИ ИССЛЕДОВАНИИ БЕТА-СПЕКТРОВ  
НА МАГНИТНОМ БЕТА-СПЕКРОМЕТРЕ

*Направлено в "Nucleonica"*

ОИИ  
БИБЛИОТЕКА

Горожанкин В.М. и др.

P6 - 10239

К вопросу об учете формы линии при исследовании  
бета-спектров на магнитном бета-спектрометре

Установлено, что функцию отклика магнитного бета-спектрометра СТ-2 можно описывать функцией "Гаусс + экспоненциальный хвост". Дается метод расчета поправок  $C_0(p)$  для измеренных бета-спектров. Показано, что вводимые ранее поправки на разрешение  $C_R(p)$  являются частным случаем поправок  $C_0(p)$  с учетом реальной функции отклика бета-спектрометра.

Работа выполнена в Лаборатории ядерных проблем ОИЯИ.

Препринт Объединенного института ядерных исследований  
Дубна 1976

Gorozhankin V.M. et al.

P6 - 10239

On the Account of the Line Form in Studying  
 $\beta$ -Spectra Using Magnetic  $\beta$ -Spectrometer

It is established that the response function for the magnetic  $\beta$ -spectrometer CT-2 can be described by the function "Gauss+exponential-tail". The method is presented for calculation of the corrections  $C_0(p)$  for the measured  $\beta$ -spectra. It is shown that the previously introduced corrections to resolution  $C_R(p)$  are the particular case of corrections  $C_0(p)$  with the account of the real response function of the  $\beta$ -spectrometer.

Preprint of the Joint Institute for Nuclear Research  
Dubna 1976

© 1976 Объединенный институт ядерных исследований Дубна

Любой спектрометр, принимая на входе монохроматическое излучение, регистрирует некоторое распределение /спектр/. Это обстоятельство, естественно, необходимо иметь ввиду при анализе экспериментальных результатов. В первом приближении вводится понятие разрешающей способности спектрометра, когда считается, что монохроматическому излучению соответствует измеренная спектральная линия с шириной, определяемой свойствами используемого прибора.

В случае исследования  $\beta$ -спектров при распаде радиоактивных ядер этот вопрос в последнее время наиболее подробно был рассмотрен для магнитных спектрометров Паулом /1/. Однако он рассмотрел только случай для "идеального" магнитного бета-спектрометра, когда монохроматические электроны регистрируются в виде пика, описываемого гауссовским или экспоненциальным распределением. Между тем, как правило, спектральные линии от монохроматических электронных линий, получаемые на  $\beta$ -спектрометрах, обладают "хвостами", простирающимися далеко в сторону малых энергий распределения. Мы не будем здесь анализировать причины проявления "хвостов" линий. Они могут быть связаны, в случае магнитного спектрометра, с рассеянием в приборе, с поглощением и рассеянием в источнике и др. Хотя скорость счета в каждой точке "хвоста" часто на два и более порядков меньше, чем в максимуме линии, большая протяженность "хвостов" может привести к заметнымискажениям при измерениях  $\beta$ -спектров.

Вопрос учета реальной формы линии /амплитудное распределение от монохроматических электронов/ при анализе  $\beta$ -спектров, измеренных на сцинтилляционных спектрометрах, изучался в работах /2-8/. В некоторой степени аналогичный вопрос: исследование зависимости формы линии от энергии и влияние "хвостов" линий на  $\beta$ -спектры, измеренные на магнитном спектрометре, ранее не изучался.

В настоящей статье мы рассмотрим поправки, учитывающие форму линии, как в случае "идеального", так и "реального"  $\beta$ -спектрометров, и оценим их важность при исследовании  $\beta$ -спектров на спектрометре СТ-2 в ОИЯИ /9/.

### 1. Поправки на разрешающую способность "идеального" $\beta$ -спектрометра

"Идеальным"  $\beta$ -спектрометром называют магнитный спектрометр, 1/ - имеющий форму линии, описываемую аналитической функцией /обычно: гауссian или экспонента/ и 2/ - обладающий линейной зависимостью импульса электронов  $N_p$  от переменного параметра /обычно тока I в обмотке магнита/. Условие 1/ означает пренебрежение "хвостами" спектральных линий. Условие 2/ приводит к тому, что вероятность  $w$  регистрации электрона, испущенного из источника с импульсом  $p_0$ , при токе I, соответствующем импульсу  $p$ , зависит только от отношения  $p_0/p$  и от разрешения R  $\beta$ -спектрометра /1/:

$$w(p_0/p) = \frac{1}{Ap} F(p_0/p). \quad /1/$$

Функцию F назовем функцией отклика спектрометра. Нормировочный коэффициент A получается из условия

$$\int_0^{p_{\max}} w(p_0/p) dp = 1, \text{ т.е.}$$

$$A = \int_0^{p_{\max}} \frac{dp}{p} F(p_0/p). \quad /2/$$

Если спектральная линия описывается гауссовским распределением, то

$$F(p_0/p) = \exp \left\{ -C(p_0/p - 1)^2 \right\}, \quad /3/$$

$$\text{где } C = \frac{4\ln 2}{R^2}.$$

Если функция N(p) представляет истинную форму  $\beta$ -спектра, то экспериментально измеренное распределение можно выразить соотношением

$$M(p_0) = \int_0^{p_{\max}} N(p) w(p_0/p) dp, \quad /4/$$

при этом выполняется условие

$$\int_0^{p_{\max}} M(p) dp = \int_0^{p_{\max}} N(p) dp. \quad /5/$$

Рассчитывая функцию M( $p_0$ ) для  $p_0$  от 0 до  $p_{\max}$ , можно определить поправку, учитывающую влияние разрешения спектрометра:

$$C_R(p) = \frac{N(p)}{M(p)}, \quad /6/$$

и из измеренного спектра получить истинный спектр

$$N(p) = C_R(p) M(p). \quad /7/$$

Для разрешенных  $\beta$ -переходов и гауссовой формы линии поправку на разрешение  $C_R(p)$  получаем в виде:

$$C_R(p) = \frac{F(p_0, Z)p_0^2(\sqrt{1+p_{\max}^2}-\sqrt{1+p_0^2})^2}{1/Ap_0 \int_0^{p_{\max}} F(p, Z)p^2(\sqrt{1+p_{\max}^2}-\sqrt{1+p^2})^2 \exp\{-C(\frac{p_0}{p}-1)^2\} dp}. \quad /8/$$

В случае запрещенных  $\beta$ -переходов следует включить соответствующий фактор формы S(p).

Паул /1/ рассчитал  $C_R(p)$ , предполагая, что функция Ферми  $F(p, Z)$  не зависит от  $p$ . В интересующих нас случаях анализа позитронных спектров с граничными энер-

гиями меньше 1000 кэВ учет зависимости функции Ферми от энергии может оказаться существенным. Для учета этой зависимости мы брали функцию Ферми из /10/. Для расчета  $C_R(p)$  по формуле /8/ была написана программа на языке ФОРТРАН. Расчеты производились на ЭВМ CDC-6220 ОИЯИ. Значения интегралов рассчитывались с точностью до  $10^{-7}$  по методу Симпсона, а пределы интегрирования принимались так, чтобы в интеграл распределения Гаусса были включены значения до  $10^{-5}$  от его максимума. Это обеспечивает точность рассчитанных значений  $C_R(p)$  до 0,01%. Программа составлена таким образом, чтобы при вводе известного разрешения  $R$  и значения граничной энергии  $E_{0\max}$  получались величины  $C_R(p)$  для заданного шага.

На рис. 1 и 2 представлены рассчитанные нами зависимости  $C_E(R)$  для позитронов  $^{171}\text{Lu}$ ,  $E_{0\max} = 362$  кэВ и  $^{153}\text{Dy}$ ,  $E_{0\max} = 887$  кэВ /12/. Видно, что обсуждаемые поправки велики только при  $E$ , весьма близких к  $E_{0\max}$ . Тот факт, что при  $E_{0\max} - E > 30-40$  кэВ и  $R < 1\%$ , поправка на разрешение  $C_R(E)$  отличается от единицы менее чем на 1%, позволил не учитывать ее в ряде исследований /13-15/.

Безжелезный тороидальный  $\beta$ -спектрометр СТ-2 удовлетворяет второму условию "идеальности"; зависимость  $N_p = f(I)$  линейна и имеет вид

$$N_p = K \cdot I, \quad /9/$$

где  $K = 11,849 \pm 0,007$ . Значение, полученное в одной из серий измерения спектра конверсионных электронов  $^{169}\text{Yb}$ . Таким образом, отклонения от линейности не больше 0,1%.

Чтобы оценить, как соблюдается первое условие, необходимо провести исследование функции отклика  $\beta$ -спектрометра СТ-2 /форма линии с "хвостом"/.

## 2. Исследование функции отклика $\beta$ -спектрометра СТ-2

Для получения функции отклика  $\beta$ -спектрометра необходимо исследовать форму спектральной линии моно-

Рис. 1. Поправочный коэффициент  $C_E(R)$  для спектра позитронов  $^{171}\text{Lu}/E_{0\max} = 362$  кэВ/.

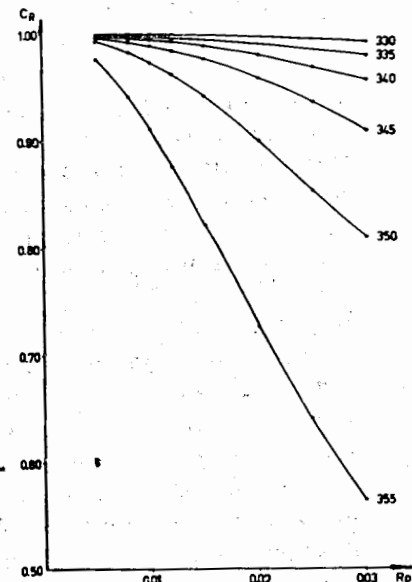
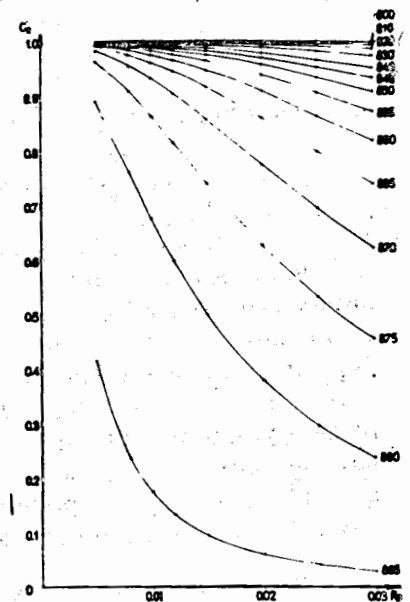


Рис. 2. Поправочный коэффициент  $C_E(R)$  для позитронов  $^{153}\text{Dy}$  с  $E_{0\max} = 887$  кэВ.



хроматических электронов разных энергий. Естественно для этой цели использовать линии конверсионных электронов. При исследовании формы линии /и, особенно, ее "хвоста"/ важно хорошо знать величину фона и по возможности его уменьшить. Сплошные  $\beta^-$ -спектры в рассматриваемой задаче являются фоном, поэтому мы выбирали линии конверсионных электронов, возникающих при распаде изотопов, испытывающих электронный захват или  $\beta^+$ -распад. Выбраны изотопы, имеющие простые спектры конверсионных электронов /мало линий/, а именно  $^{167}\text{Tm}$ ,  $^{169}\text{Yb}$ ,  $^{152}\text{Dy}$  и  $^{152}\text{Tb}$ . Участки спектров, использованные для анализа, представлены на рис. 3-5. Анализ проводился следующим образом. Зависимость счета в канале  $N_{ci}$  от номера канала  $K_i$  в области энергий, больших энергий изучаемых конверсионных электронов, аппроксимировалась функцией типа  $\exp(\alpha_1 + \beta_1 K_i)$ . Рассчитанный таким образом фон  $N_{\Phi i}$  в каждом канале вычитался из числа отсчетов  $N_{ci}$  экспериментального распределения конверсионных электронов. Полученное распределение величин  $N_{1i} = (N_{ci} - N_{\Phi i})$  обрабатывалось вблизи максимума пика по методу линеаризации<sup>16</sup>. Предполагая, что пик описывается функцией Гаусса:

$$N_{1i} = A_m \exp \{ -(K_0 - K_i)^2 / 2\sigma^2 \}, \quad /10/$$

строим следующую зависимость

$$\xi_i = \frac{1}{K_{i+1} - K_i} \ln \frac{N_{1(i+1)}}{N_{1i}} = \frac{1}{\sigma^2} [K_0 - \frac{1}{2}(K_{i+1} + K_i)]. \quad /11/$$

где  $K_0$  - номер пикового канала,  $A_m$  - число отсчетов в канале  $K_0$ . По методу наименьших квадратов искались параметры  $K_0$  и  $\sigma$  этой линейной зависимости. Вычитая в каждой точке полученную функцию /10/ из числа  $N_{1i}$ , получаем в области энергий, меньших энергии пика, излишек  $N_{2i} = N_{1i} - N_{\Phi i}$ . Распределение  $N_{2i}$  аппроксимируем функцией типа  $\exp(\alpha + \beta K_i)$  и получаем значения параметров  $\alpha$  и  $\beta$  и их ошибки. Определялся также номер канала  $K_{int}$  пересечения гауссовского распределения и экспоненциального хвоста из уравнения

$$\exp(\alpha + \beta K_{int}) - A_m \exp \{ -(K_0 - K_{int})^2 / 2\sigma^2 \} = 0 \quad /12/$$

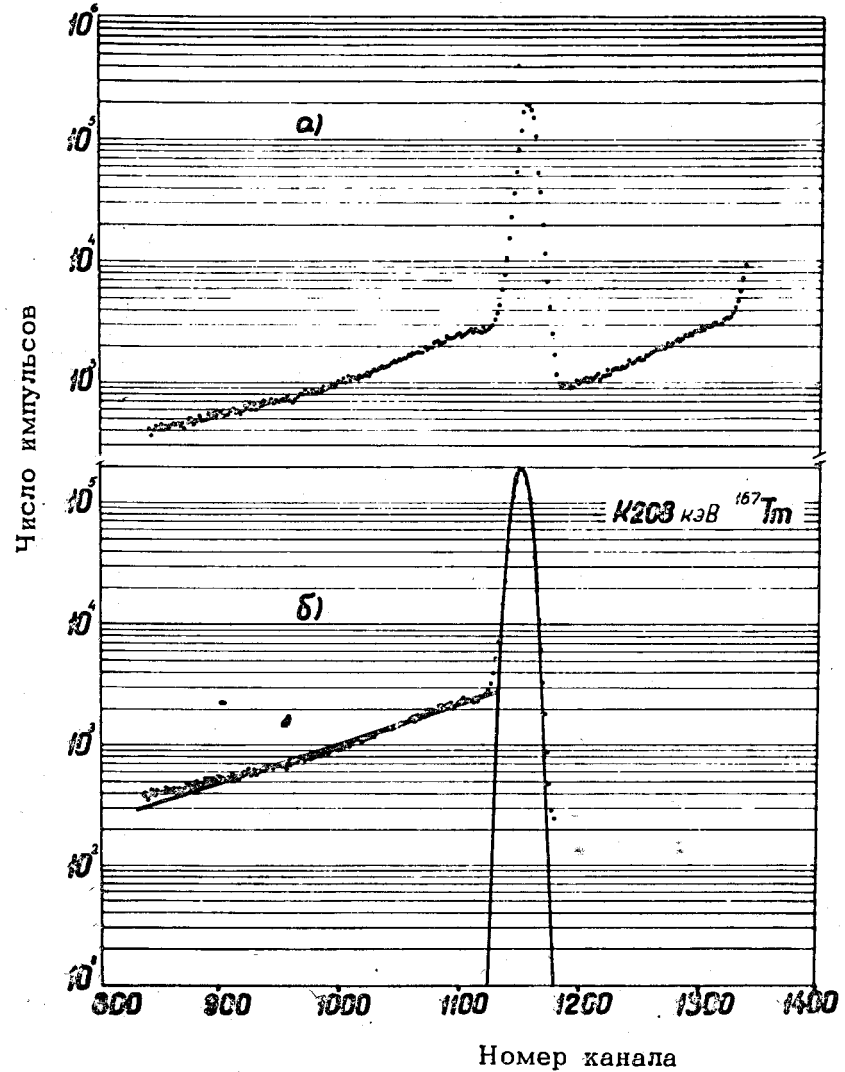


Рис. 3. Спектр конверсионных электронов К 208  $^{167}\text{Tm}$ :  
а/ экспериментальное распределение эффект + фон,  
б/ полученное распределение "Гаусс + экспонента",  
после вычитания фона.

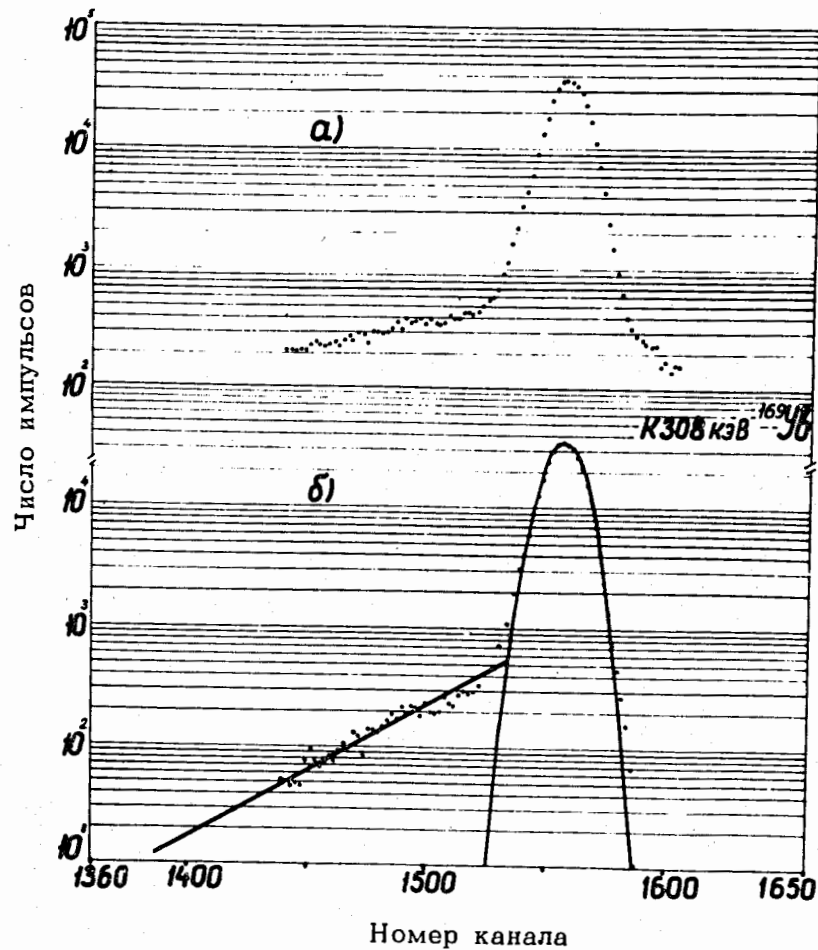


Рис. 4. Спектр конверсионных электронов К308  $^{169}\text{Yb}$ :  
а/ экспериментальное распределение эффект + фон; б/ полученное распределение "Гаусс + экспонента" после вычитания фона.

по методу Ньютона-Рафсона/<sup>17/</sup>. При решении уравнения /12/ число итераций увеличивается, пока не будет достигнута точность в определении  $K_{\text{int}} \sim 0,02$  канала. По методу Симпсона /17/ вычислялись площади гауссовского распределения  $S_G$  и экспоненциального "хвоста"

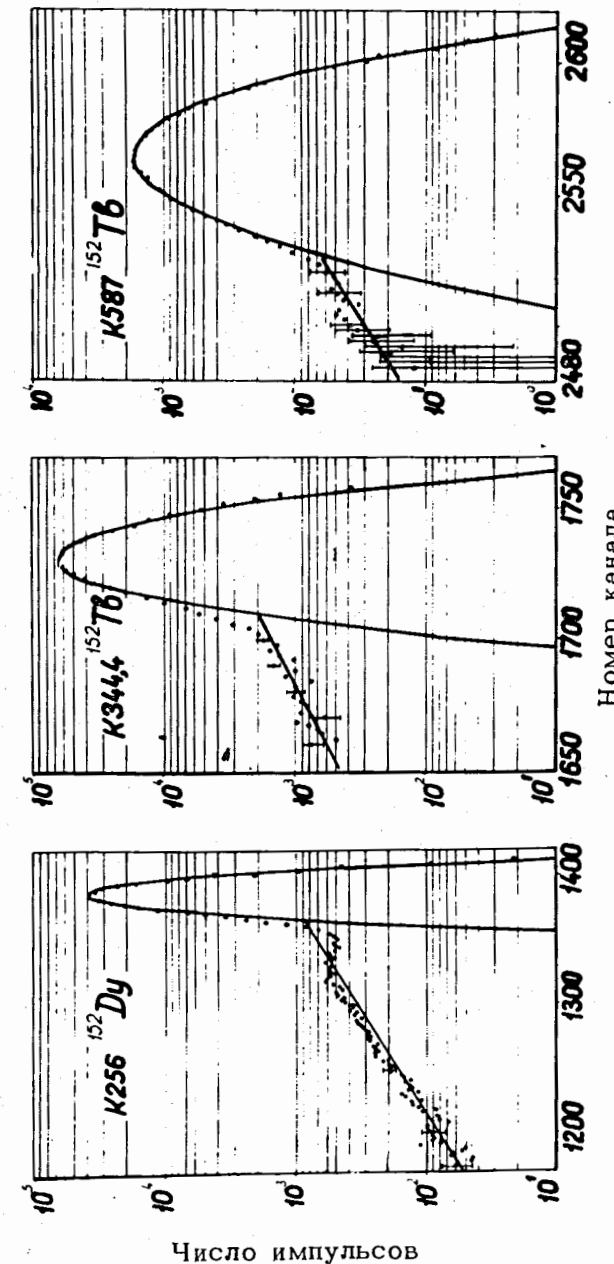


Рис. 5. Полученное распределение "Гаусс + экспонента" после вычитания фона для конверсионных электронов К256  $^{152}\text{Dy}$ ; К344,4 и К587  $^{152}\text{Tb}$ .

$S_{\text{X.B.L.}}$ . При этом интегрирование проводилось для  $S_F$  в пределах от  $K_0 - 3\sigma$  до  $K_0 + 3\sigma$  и для  $S_{\text{X.B.L.}}$  от  $O$  до  $K_{\text{int}}$ . Во всех исследованных случаях сумма  $S_F + S_{\text{X.B.L.}}$  совпадала в пределах статистических ошибок с площадью экспериментального распределения  $N_{11}$ .

На рис. 3-5 представлены экспериментальные распределения конверсионных электронов К 208  $^{167}\text{Tm}$ , К 308  $^{169}\text{Yb}$ , К 256  $^{152}\text{Dy}$ , К 344,4  $^{152}\text{Tb}$  и К 587  $^{152}\text{Tb}$  и их аппроксимация описанным выше способом. Видно, что экспериментальные спектры удовлетворительно описываются функциями вида "Гаусс + экспонента". В табл. 1 приведены основные параметры, описывающие спектральные линии конверсионных электронов.

Используя данные табл. 1, можно моделировать функцию отклика нашего спектрометра, зависящую от номеров каналов  $K_0$  и  $K_i$ .

Построим вероятность  $w(p_0, p)$  того, что электрон, испущенный источником с импульсом  $p_0$ , будет зарегистрирован детектором в канале  $K_i$  при токе  $I$ , соответствующем импульсу электрона  $p$ . Зависимость импульса  $p$  от номера канала получим, используя выражение /9/, зависимость  $I = A_1 + A_2 K_i$ , определенную при исследовании прибора, и формулу  $p = K_1 H \rho / A_1 = 4,55 \pm 0,37$ ,  $A_2 = 987,5 \pm 3,4 \cdot 10^{-4}$  и  $K_1 = 0,58667 \cdot 10^{-3} / 3 //$ . Имеем:

$$K_i = (1456,7 \pm 1,5) p - (46,2 \pm 3,5). \quad /13/$$

Экспоненту, описывающую распределение электронов в "хвосте" линии, представим в следующем виде:

$$\exp(a + \beta K_i) = \exp(a_p + \beta_p p),$$

где  $\beta_p = 1456,7\beta$  и  $a_p = a - 46,2\beta$ . При этом  $\beta$  и  $\beta_p$  - параметры, определяющие угол наклона прямых, полученных при логарифмировании "хвостов" линий в координатах  $K_i$  и  $p$ , соответственно. Как видно из табл. 1, значения  $\beta$  растут с увеличением энергии электронов.

Отношение  $C_1 = \frac{K_0 - K_{\text{int}}}{K_0}$  постоянно для всех исследованных линий. Используя /13/, определим  $C_2(p_0) = \frac{p_0 - p_{\text{int}}}{p_0}$

Таблица 1

Основные характеристики формы линий конверсионных электронов

Конверсионные электроны	$G$ $R\%$	$K_i$ $K_{\text{int}}$	$\frac{K_i - K_{\text{int}}}{K_0}$	$\beta$	$\frac{S_{\text{X.B.L.}}}{S_F + S_{\text{X.B.L.}}}$
K208 $^{167}\text{Tm}$	5,569(6) 1,14	II51,6(3) II36,I	0,0134(3)	0,0116(10)	0,143(22)
K256 $^{152}\text{Dy}$	6,877(6) 1,16	I385,8(2) I365,9	0,0138(9)	0,0154(II)	0,093(21)
K308 $^{169}\text{Yb}$	7,569(8) 1,14	I556,5(4) I535,7	0,0139(5)	0,0314(7)	0,036(5)
K344,4 $^{152}\text{Tb}$	8,034(14) 1,09	I731,0(9) I708,II	0,0132(5)	0,0330(10)	0,031(II)
K587 $^{152}\text{Tb}$	12,978(16) 1,13	2564,1(2) 2529,7	0,0134(7)	0,0357(17)	0,023(9)
K208 $^{167}\text{Tm}$					0,0140(10)

$$C_2(p_0) = C_1 \left( 1 - \frac{0,0317}{p_0} \right), \quad /14/$$

где  $p_0$  и  $p_{\text{int}}$  - импульсы электронов, зарегистрированных в каналах  $K_0$  и  $K_{\text{int}}$ .

Теперь мы можем представить функцию отклика нашего спектрометра как сумму гауссовского распределения и экспоненциального "хвоста":

$$F(p, p_0) = F_F(p, p_0) + F_{\text{X.B.L.}}(p, p_0). \quad /15/$$

Это распределение уже не является универсальной функцией, как для "идеального" спектрометра /формула /3//, из-за наличия второго члена  $F_{\text{X.B.L.}}$ , который необходимо получить для каждого спектрометра. Гауссовское распределение в пике конверсионных электронов нормировалось к единице по амплитуде; проводилась перенормировка распределения в "хвосте" линий так, чтобы обеспечить пересечения этих распределений в точке  $p_{\text{int}}$ .

сохранить отношение площадей  $S_{x.v.l.}/S_{\Gamma} + S_{x.v.l.}$ , полученное экспериментально. Таким образом, мы построили функцию отклика  $\beta$ -спектрометра СТ-2. Первый член в /15/ -  $F_{\Gamma}(p, p_0)$  остается таким же, как в случае "идеального" спектрометра /формула /3//. Распределение в "хвосте" описывается функцией

$$F_{x.v.l.}(p, p_0) = \exp\left[-C_2(p_0)\frac{C_2^2(p_0)}{1-C_2^2(p_0)}\right] \exp[\beta_p p_0 [1-C_2(p_0)] \times \\ \times \left[ \frac{1}{1-C_2(p_0)} \frac{p}{p_0} - 1 \right]]. \quad /15'$$

Как отмечено выше,  $\beta_p$  зависит от импульса электрона  $p_0$ /см. табл. и рис. 6/. Фитированием на ЭВМ "Минск-22" найден аналитический вид зависимости  $\beta_p = f(p)$ :

$$\beta_p = -160,76 + 312,83p - 117,47p^2 \quad /16/$$

в интервале  $p = 0,8 \div 1,1$  и

$$\beta_p = 37,05 + 8,33p \quad /16/$$

при  $p > 1,1$ .

### 3. Поправки для "реального" $\beta$ -спектрометра

Вероятность  $w(p, p_0)$  регистрации электрона с импульсом  $p_0$  в канале  $K_i$ , соответствующем импульсу  $p$ , запишем в виде:

$$w(p, p_0) = A(p_0) F(p, p_0), \quad /18/$$

где  $A(p_0)$  - нормировочный множитель:

$$A(p_0) = \frac{1}{\int_0^{p_{max}} F(p, p_0) dp} = \frac{1}{\int_0^{p_{max}} F_{\Gamma}(p, p_0) dp + \int_0^{p_{max}} F_{x.v.l.}(p, p_0) dp}. \quad /19/$$

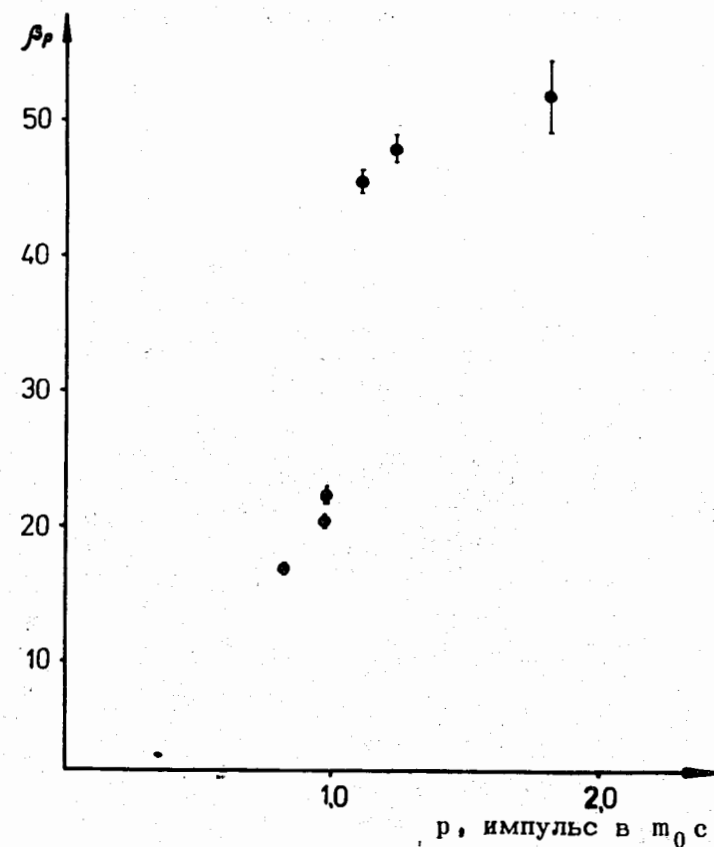


Рис. 6. Значения параметров  $\beta_p$ , определяющих наклон прямых, полученных при логарифмировании экспоненциальных "хвостов" исследуемых спектральных линий конверсионных электронов.

Исходя из формулы /4/, экспериментальное распределение  $M(p_0)$  получаем в виде

$$M(p_0) = A(p_0) \left\{ \int_{p_0}^{p_{max}} F_{x.v.l.}(p, p_0) N(p) dp + \int_0^{p_{max}} F_{\Gamma}(p, p_0) N(p) dp \right\}. \quad /20/$$

После преобразования выражений /19/ и /20/ получаем:

$$M(p_0) = \frac{M_1 + M_2}{A_1(p_0) + A_2(p_0)}, \quad /21/$$

где

$$A_1(p_0) = \int_{-2R}^{+2R} \exp(-Cy^2) \frac{1}{(1+y)^2} dy, \quad /22/$$

$$A_2(p_0) = \exp\left(-C \frac{C_2(p_0)}{1-C_2(p_0)}\right) \int_{0,4(1-C_2(p_0))}^{1-C_2(p_0)} \exp[\beta_p(1-C_2(p_0))] p_0 \times \\ \times \left(\frac{1}{1-C_2(p_0)} z - 1\right) dz, \quad /23/$$

$$M_1 = \int_{-2R}^{+2R} \exp(-Cy^2) N\left(\frac{p}{1+y}\right) \frac{1}{(1+y)^2} dy, \quad /24/$$

$$M_2 = \exp\left[-C \frac{C_2(p_0)}{(1-C_2(p_0))^2}\right] \int_{0,4(1-C_2(p_0))}^{1-C_2(p_0)} \exp(\beta_p(1-C_2(p_0))) \times$$

$$\times p_0 \left(\frac{1}{1-C_2(p_0)} z - 1\right) \times N\left(\frac{p_0}{0,4} z\right) dz.$$

$$y = p_0/p, \quad z = p/p_0. \quad /25/$$

Интегрирование выражений /22/-/25/ выполняем по методу Симпсона /17/ с точностью до  $10^{-3}$ . Поправку с учетом реальной функции отклика получаем в виде

$$C_0(p) = \frac{N(p)}{M(p)} = \frac{N(p)[A_1(p)+A_2(p)]}{M_1+M_2}. \quad /26/$$

Из формул /7/ и /26/ получаем

$$C_0(p) = C_R(p) \frac{1+A_2(p)/A_1(p)}{1+M_2/M_1}. \quad /27/$$

На рис. 7 представлены поправочные коэффициенты  $C_0$  для позитронных спектров  $^{153}\text{Dy}/a$ ,  $E_{0\max} = 887 \text{ кэВ}$ ,  $^{22}\text{Na}/\delta$ ,  $E_{0\max} = 545 \text{ кэВ}$  и  $^{171}\text{Lu}/\gamma$ ,  $E_{0\max} = 362 \text{ кэВ}$  в зависимости от энергии. На том же рисунке даны значения коэффициентов  $C_R$ . Заметим, что поправки  $C_R(p)$  и  $C_0(p)$  рассчитаны при условии /5/ равенства площадей экспериментального и истинного спектров, т.е. они не учитывают увеличения площади экспериментального спектра из-за обратного рассеяния в подложке. Чтобы оценить этот эффект, мы измеряли спектр позитронов  $^{22}\text{Na}/E_{0\max} = 545 \text{ кэВ}$  при разных толщинах  $d_n$  майларовой подложки  $/d = n \cdot d$ ,  $d = 680 \text{ мкг/см}^2$ ,  $n=1 \div 4$ . Получена линейная зависимость площади спектра  $S_n$  от толщины подложки. При экстраполяции к  $d_n = 0$  получена площадь спектра при "нулевой" толщине подложки. Отношение  $S_1/S_0 = 1,009 \pm 0,002$ . Таким образом, для принятой в экспериментах на спектрометре СТ-2 подложки толщиной  $680 \text{ мкг/см}^2$  условие /5/ соблюдается с точностью не хуже 1%.

На рис. 8 представлены экспериментальные отношения  $S_{\text{хв.л.}}/S_{\Gamma} + S_{\text{хв.л.}}$  в зависимости от энергии конверсионных электронов. Кривая дает результаты расчета того же отношения по разработанной выше процедуре. Видно, что экспериментальные результаты удовлетворительно описываются с помощью построенной функции отклика  $\beta$ -спектрометра СТ-2.

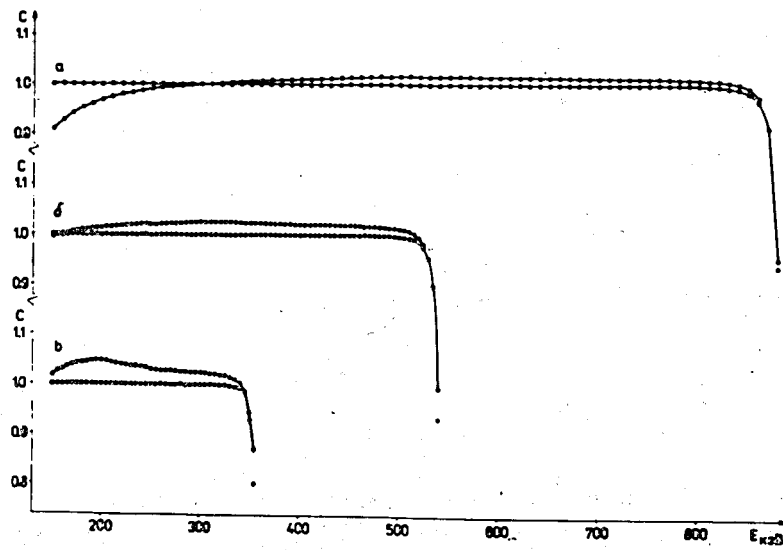


Рис. 7. Поправочные коэффициенты  $C_0(p)$ /открытые кружки/ и  $C_B(p)$ /почки/ для позитронов: а/ с  $E_{0\max} = 887$  кэВ  $^{153}\text{Dy}$ , б/ с  $E_{0\max} = 545$  кэВ  $^{22}\text{Na}$ , в/ с  $E_{0\max} = 362$  кэВ  $^{171}\text{Lu}$ .

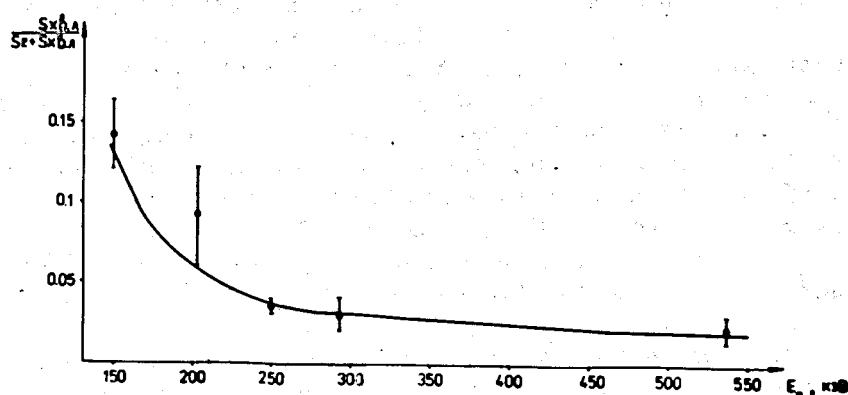


Рис. 8. Экспериментальные отношения  $\langle S_{x.v.l.} \rangle / S_{g+S_{x.v.l.}}$  в зависимости от энергии конверсионных электронов. Результаты расчета этого отношения по моделированной функции отклика спектрометра показаны сплошной линией.

#### 4. Заключение

Чтобы оценить влияние функции отклика  $\beta$ -спектрометра СТ-2 на полученные результаты, была проведена обработка измерений  $\beta^+$ -спектра  $^{22}\text{Na}$  с учетом и без учета поправок  $C_0(p)$ /рис. 7б/. Получены значения: без учета  $C_0(p) - E_{0\max} = /545,17 \pm 0,37/$  кэВ;  $S_{\beta^+} = /5,330 \pm 0,059/ \cdot 10^6$  имп.кэВ, с учетом  $C_0(p) - E_{0\max} = /544,81 \pm 0,36/$  кэВ;  $S_{\beta^+} = /5,463 \pm 0,059/ \cdot 10^6$  имп.кэВ.

Приведенные ошибки определяются только статистическими ошибками отсчетов в отдельных точках спектра. Видно, что влияние функции отклика на результат определения  $E_{0\max}$  не превышает в данном случае статистической погрешности. Интенсивность  $\beta$ -перехода увеличивается при этом на 2,5% /статистическая ошибка ~1%/. Это приводит к заключению, что поправки  $C_0(p)$  важно учитывать при анализе однокомпонентных  $\beta$ -спектров только в тех случаях, когда при измерениях числа отсчетов в точках спектра  $N_i = N_{Ci} - N_{\phi i}$  достигнута статистическая точность ~1-2%.

Сложнее положение в случае многокомпонентных  $\beta$ -спектров, особенно, когда имеются жесткие компоненты спектра. Так, для  $E_{0\max} = 887$  кэВ /рис. 7а/ введение поправок уменьшает счет при 150 кэВ на 11%. Это значит, что даже при статистической точности около 10% при анализе сложных спектров без учета поправок на функцию отклика в области малых /300-400 кэВ/ энергий могут быть допущены ошибки. В созданной программе для обработки  $\beta$ -спектров<sup>18</sup> учтена возможность введения поправки  $C_0(p)$ .

Авторы глубоко признательны Н.А.Головкову за полезное обсуждение вопросов, связанных с данной статьей.

#### Литература

1. H. Paul. Nucl. Instr. and Meth., 31, 307 /1964/.
2. G. Bertolini, F. Capellani, A. Rota. Nucl. Instr. and Meth., 9, 107 /1960/.

3. T.J.Kennett, G.L.Keech. *Nucl.Instr. and Meth.*, 24, 142 /1963/.
4. G.Bertolini, F.Cappellani, R.Fantechi, G.Restelli. *Nucl.Instr. and Meth.*, 27, 281 /1964/.
5. F.K.Wahn. *Nucl.Instr. and Meth.*, 101, 343 /1972/.
6. N.Tsoulfanidis, B.W.Wahring, M.E.Wyman. *Nucl. Instr. and Meth.*, 73, 98 /1969/.
7. J.B.Willett, E.H.Spejewski. *Nucl.Instr. and Meth.*, 52, 77 /1967/.
8. E.Jund, G.Rudstam. *Nucl.Instr. and Meth.*, 134, 173 /1976/.
9. М.Гасиор, К.Я.Громов, В.В.Кузнецов, Г.И.Лизурей, А.В.Потемпа, Е.Дец, Б.Корецки, Е.Стажевски, М.Янички. *ОИЯИ*, Дб-7094, 167, Дубна, 1973.
10. Б.С.Джелепов, Л.И.Зырянова, Ю.П.Суслов. "Бета-процессы", Наука, Ленинград, 1972.
11. Д.Богдан, М.Гасиор, Т.Крецу, В.В.Кузнецов, Н.А.Лебедев, Г.Лизурей, Г.Макарие, Д.Г.Попеску. Программа и тезисы докладов XXVI Совещания по ядерной спектроскопии и структуре атомного ядра, Баку, изд. "Наука", стр. 122, 1976.
12. М.Гасиор, И.И.Громова, Т.Крецу, В.В.Кузнецов, Н.А.Лебедев, Г.И.Лизурей, Г.Макарие, Д.Мончка. Программа и тезисы докладов XXVI Совещания по ядерной спектроскопии и структуре атомного ядра, Баку, Наука, Л., стр. 110, 1976.
13. S.Y.Van der Werf, H. De Waard, H.Beekhuis. *Nucl.Phys.*, A194, 215 /1969/.
14. J.L.Wolfson, A.J.Collier. *Nucl.Phys.*, A112, 156 /1968/.
15. H.Behrens, M.Kobelt, L.Szybisz, W.-G.Thies. *Nucl. Phys.*, A246, 317 /1976/.
16. Б.С.Джелепов. "Методы разработки сложных схем распада". Наука, Л., стр. 194, 1974.
17. W.S.Dorn, D.D.McCracken. *Numerical Methods with FORTRAN IV Case Studies*, John Wiley Sons, New-York, 1972.
18. Т.Крецу, В.В.Кузнецов, Г.Макарие. *ОИЯИ*, Рб-10183, Дубна, 1976.

Рукопись поступила в издательский отдел  
23 ноября 1976 года.